

**Московский авиационный институт**  
**(Национальный исследовательский университет)**  
Факультет прикладной математики и физики  
Кафедра вычислительной математики и программирования

**Лабораторная работа № 5**  
по курсу «Численные методы»

Студент: Аксенов А. Е.

Группа: М80-408Б-20

Преподаватель: Пивоваров Д. Е.

Оценка:

Москва, 2023

# Лабораторная №5

## Задание

Используя явную и неявную конечно-разностные схемы, а также схему Кранка - Николсона, решить начально-краевую задачу для дифференциального уравнения параболического типа. Осуществить реализацию трех вариантов аппроксимации граничных условий, содержащих производные: двухточечная аппроксимация с первым порядком, трехточечная аппроксимация со вторым порядком, двухточечная аппроксимация со вторым порядком. В различные моменты времени вычислить погрешность численного решения путем сравнения результатов с приведенным в задании аналитическим решением  $U(x, t)$ . Исследовать зависимость погрешности от сеточных параметров  $\tau, h$ .

## Вариант 1

$$\frac{\partial u}{\partial t} = a \frac{\partial^2 u}{\partial x^2}, \quad a > 0,$$

$$u(0, t) = 0,$$

$$u(1, t) = 0,$$

$$u(x, 0) = \sin(2\pi x).$$

Аналитическое решение:  $U(x, t) = \exp(-4\pi^2 at) \sin(2\pi x)$ .

## Теория

Классическим примером уравнения параболического типа является уравнение теплопроводности (диффузии). В одномерном по пространству случае однородное (без источников энергии) уравнение теплопроводности имеет вид

$$\frac{\partial u}{\partial t} = a^2 \frac{\partial^2 u}{\partial x^2}, \quad 0 < x < l, t > 0. \quad (1)$$

Граничные условия первого рода:

$$u(0, t) = \varphi_0(t), \quad x = 0, t > 0$$

$$u(l, t) = \varphi_l(t), \quad x = l, t > 0 \quad (2)$$

Начальные условия:

$$u(x, 0) = \psi(t), \quad 0 \leq x \leq l, t = 0 \quad (4)$$

Задача (1) - (4) называется первой начально-краевой задачей для уравнения теплопроводности.

Если же на границах  $x = 0, x = l$  заданы значения производных искомых функций по пространственной переменной

$$\frac{\partial u(0, t)}{\partial t} = \varphi_0(t), x = 0, t > 0 \quad (5)$$

$$\frac{\partial u(l, t)}{\partial t} = \varphi_l(t), x = l, t > 0 \quad (6)$$

То есть граничные условия второго рода, то задачу (1), (5), (6), (4) называют второй начально-краевой задачей для уравнения теплопроводности (1).

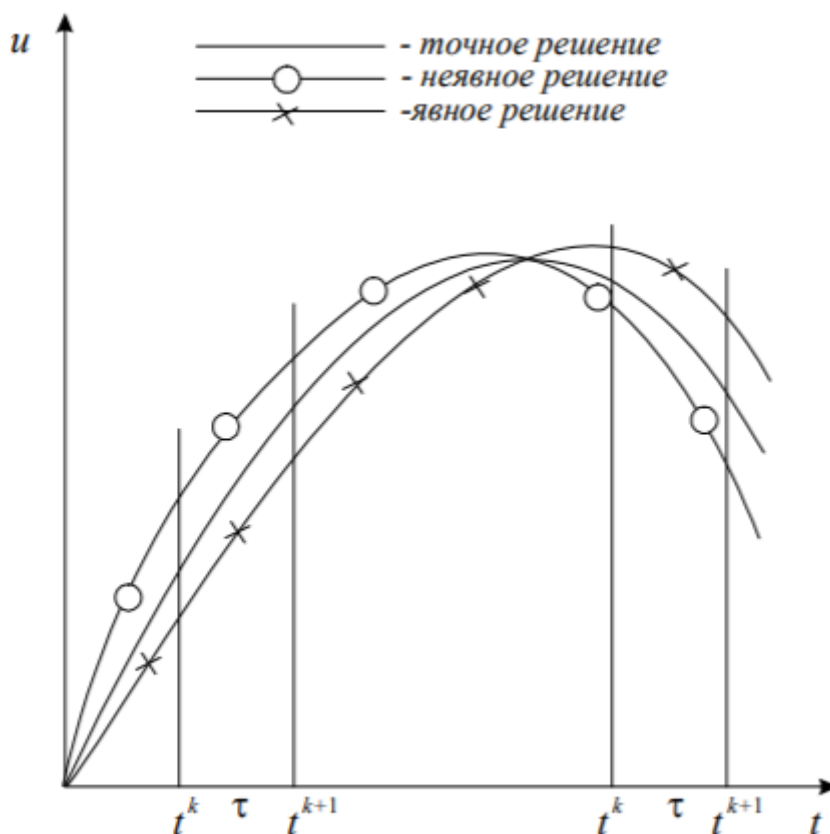
Если на границах заданы линейные комбинации искомой функции и ее производной по пространственной переменной.

$$\alpha \frac{\partial u(0, t)}{\partial x} + \beta u(0, t) = \varphi_0(t), \quad x = 0, \quad t > 0 \quad (7)$$

$$\gamma \frac{\partial u(l, t)}{\partial x} + \delta u(l, t) = \varphi_l(t), \quad x = l, \quad t > 0 \quad (8)$$

То есть граничные условия третьего рода, то задачу (1), (7), (8), (4) называют третьей начально-краевой задачей для уравнения теплопроводности (1).

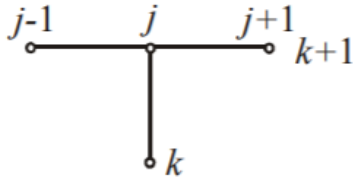
Рассмотрим три схемы для решения задачи:



### Неявная схема

$$\frac{u_j^{k+1} - u_j^k}{\tau} = a^2 \frac{u_{j+1}^{k+1} - 2u_j^{k+1} + u_{j-1}^{k+1}}{h^2} + O(\tau + h^2), \quad j = \overline{1, N-1}, \quad k = \overline{0, K-1},$$

$$u_0^{k+1} = \varphi_0(t^{k+1}), \quad u_N^{k+1} = \varphi_l(t^{k+1}), \quad k = \overline{0, K-1}; \quad u_j^0 = \psi(x_j), \quad j = \overline{0, N}.$$

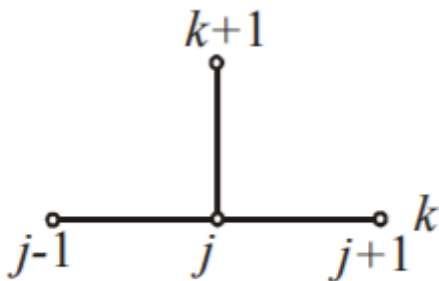


*шаблон неявной схемы*

### Явная схема

$$\frac{u_j^{k+1} - u_j^k}{\tau} = a^2 \frac{u_{j+1}^k - 2u_j^k + u_{j-1}^k}{h^2} + O(\tau + h^2), \quad j = \overline{1, N-1}, \quad k = \overline{0, K-1},$$

$$u_0^k = \varphi_0(t^k), \quad u_N^k = \varphi_l(t^k), \quad k = \overline{0, K}; \quad u_j^0 = \psi(x_j), \quad j = \overline{0, N},$$



*шаблон явной схемы*

### Схема Кранка-Николсона

$$\frac{u_j^{k+1} - u_j^k}{\tau} = \theta a^2 \frac{u_{j+1}^{k+1} - 2u_j^{k+1} + u_{j-1}^{k+1}}{h^2} + (1 - \theta) a^2 \frac{u_{j+1}^k - 2u_j^k + u_{j-1}^k}{h^2},$$

где  $\theta$  - вес неявной части конечно-разностной схемы,  $1-\theta$  - вес для явной части, причем  $0 \leq \theta \leq 1$ . При  $\theta=1$  имеем полностью неявную схему, при  $\theta=0$  - полностью явную схему, и при  $\theta=1/2$  - схему Кранка-Николсона. Для схемы Кранка-Николсона ( $\theta=1/2$ ) порядок аппроксимации составляет  $O(\tau^2 + h^2)$ , т.е. на один порядок по времени выше, чем

обычные явная или неявная схемы. Неявно-явная схема с весами (5.20) абсолютно устойчива при  $1/2 \leq \theta \leq 1$  и условно устойчива с условием  $\sigma \leq \frac{1}{2}$  при  $0 \leq \theta \leq \frac{1}{2}$

### ЯВНЫЙ МЕТОД

```
1 l_start = 0.0
2 l_finish = 1.0
3 t_start = 0.0
4 t_finish = 1.0
5
6 def explicit(N = 30, K = 300, a = 1.0, theta = 0.0):
7     N = N - 1
8     K = K - 1
9     h = (l_finish - l_start) / N
10    tau = (t_finish - t_start) / K
11    sigma = a * a * tau / (h * h)
12    X = []
13    Y = []
14    ans = []
15
16    x = list(np.arange(l_start, l_finish + h/2, h))
17    last_line = list(map(init_cond, x))
18    ans.append(list(last_line))
19    X.append(x)
20    Y.append([0.0 for _ in x])
21
22    for t in np.arange(t_start + tau, t_finish + tau/2, tau):
23        ans_line = [None for _ in last_line]
24        for i in range(1, len(x) - 1):
25            ans_line[i] = sigma * last_line[i - 1]
26            ans_line[i] += (1 - 2 * sigma) * last_line[i]
27            ans_line[i] += sigma * last_line[i + 1]
28        ans_line[0] = cond_1(t)
29        ans_line[-1] = cond_2(t)
30
31        ans.append(ans_line)
32        X.append(x)
33        Y.append([t for _ in x])
34        last_line = ans[-1]
35
36    return X, Y, ans
```

## Неявный и KN

```
l_start = 0.0
l_finish = 1.0
t_start = 0.0
t_finish = 1.0

def unexplicit(N = 30, K = 300, a = 1.0, theta = 0.5):
    N = N - 1
    K = K - 1
    h = (l_finish - l_start) / N
    tau = (t_finish - t_start) / K
    sigma = a * a * tau / (h * h)
    X = []
    Y = []
    ans = []

    x = list(np.arange(l_start, l_finish + h/2, h))
    last_line = list(map(init_cond, x))
    ans.append(list(last_line))
    X.append(x)
    Y.append([0.0 for _ in x])

    for t in np.arange(t_start + tau, t_finish + tau/2, tau):
        coeff_a = sigma * theta
        coeff_b = -1 - 2 * sigma * theta

        A = [
            (coeff_a, coeff_b, coeff_a)
            for _ in range(1, len(x)-1)
        ]
        coeff_d = [
            -(last_line[i] + (1 - theta) * sigma * (last_line[i-1] - 2*last_line[i] + last_line[i+1]))
            for i in range(1, len(x)-1)
        ]
        A.insert(0, (0,0,cond_1(0)))
        coeff_d.insert(0, cond_1(0))

        A.append((0,0,cond_2(0)))
        coeff_d.append(cond_2(0))

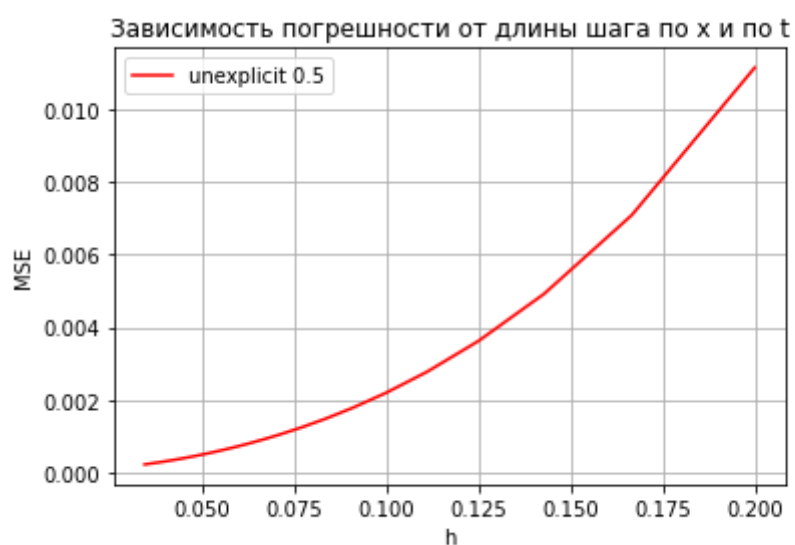
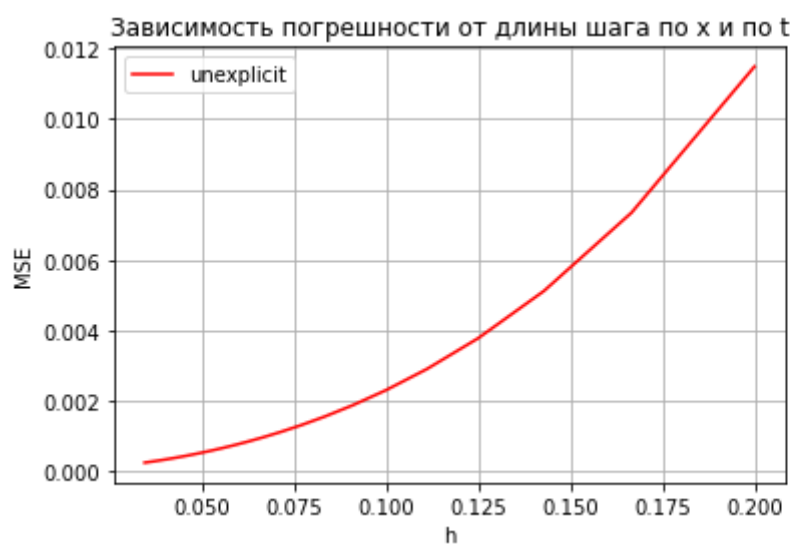
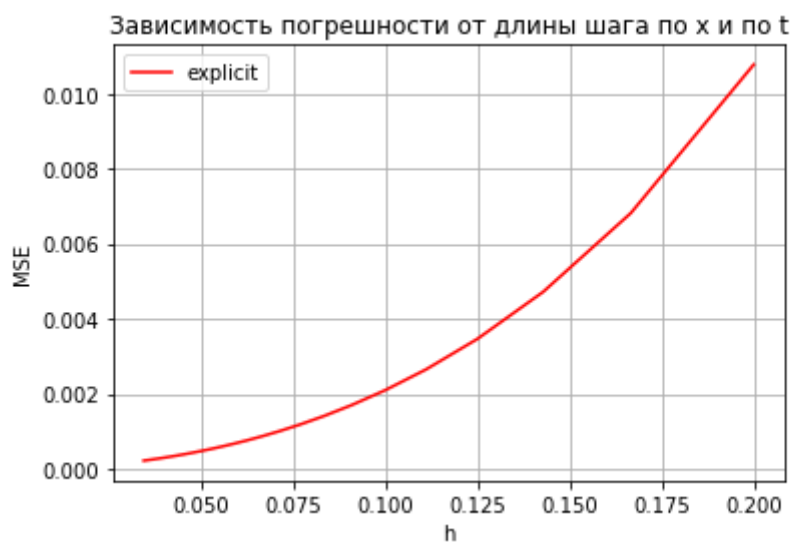
        ans.append(race_method(A, coeff_d))
        X.append(x)
        Y.append([t for _ in x])
        last_line = ans[-1]

    return X, Y, ans
```

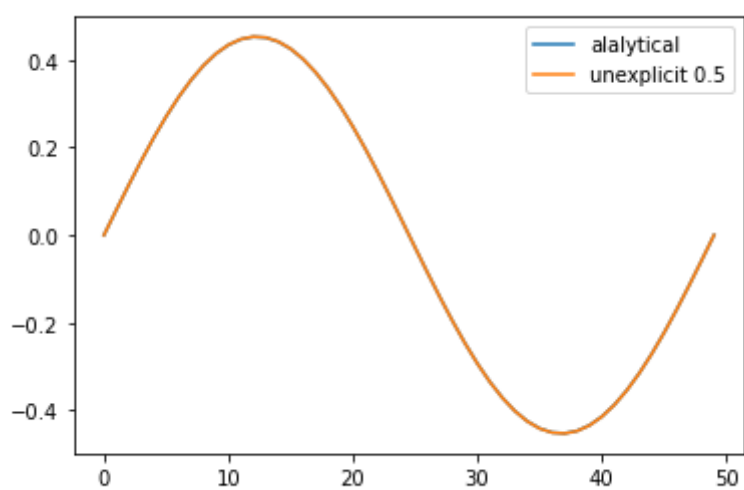
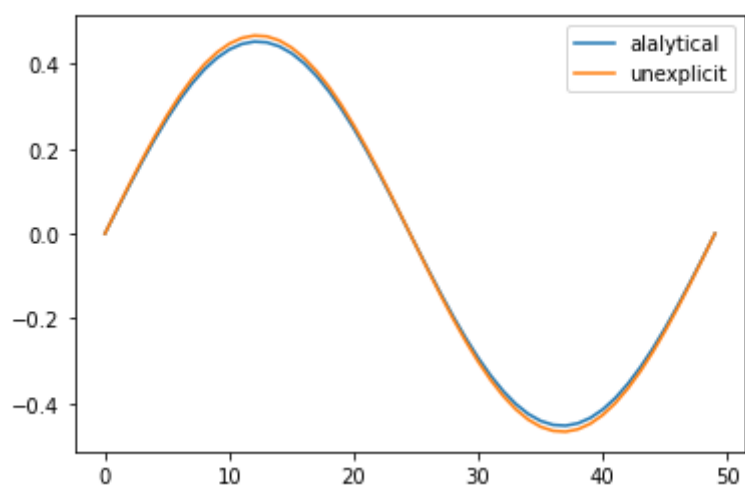
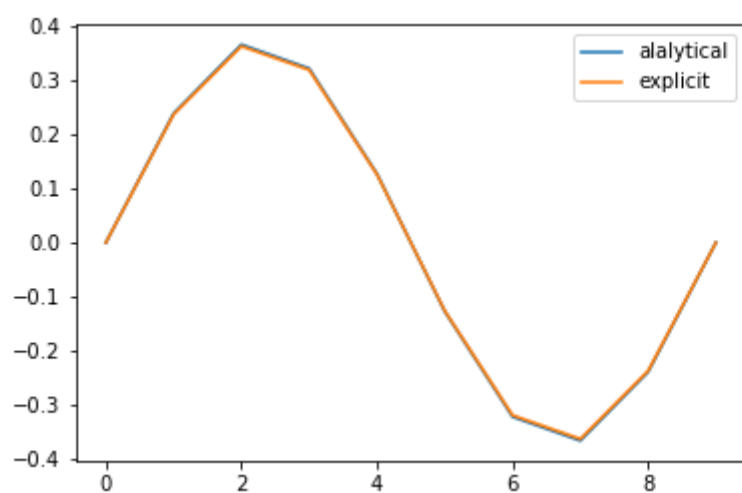
## Прогонка

```
1 def race_method(A, b):
2     P = [-item[2] for item in A]
3     Q = [item for item in b]
4     eps = 1e-10 if abs(A[0][1]) < 1e-8 else 0
5     P[0] /= (A[0][1] + eps)
6     Q[0] /= (A[0][1] + eps)
7     for i in range(1, len(b)):
8         z = (A[i][1] + A[i][0] * P[i-1])
9         P[i] /= (z + eps)
10        Q[i] -= A[i][0] * Q[i-1]
11        Q[i] /= (z + eps)
12    x = [item for item in Q]
13    for i in range(len(x) - 2, -1, -1):
14        x[i] += P[i] * x[i + 1]
15    return x
```

## Погрешности



## Численные и аналитические кривые в последний момент времени





## Вывод

В ходе выполнения лабораторной работы я познакомился со следующими схемами аппроксимации: 1) Явная 2) Неявная 3) Кранекера – Николсона. Также мной были построены графики зависимости ошибки от размера шага по пространству. С увеличением размера шага растет ошибка, что говорит о том, что алгоритмы сходятся. Также я отрисовал графики аналитического и численного решения в последний момент времени. Графики оказались близки друг к другу. Данный факт говорит о том, что алгоритмы сходятся.